

FIG. 1

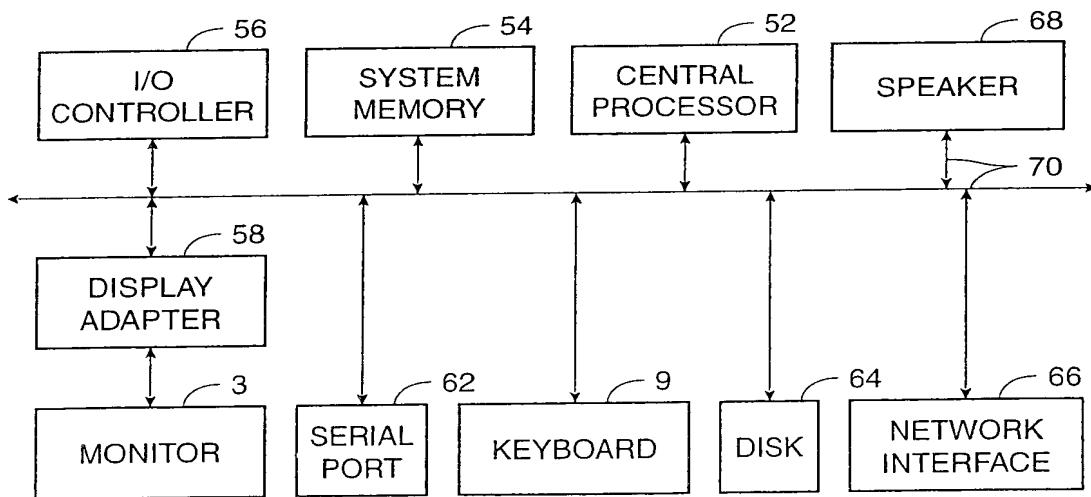


FIG. 2

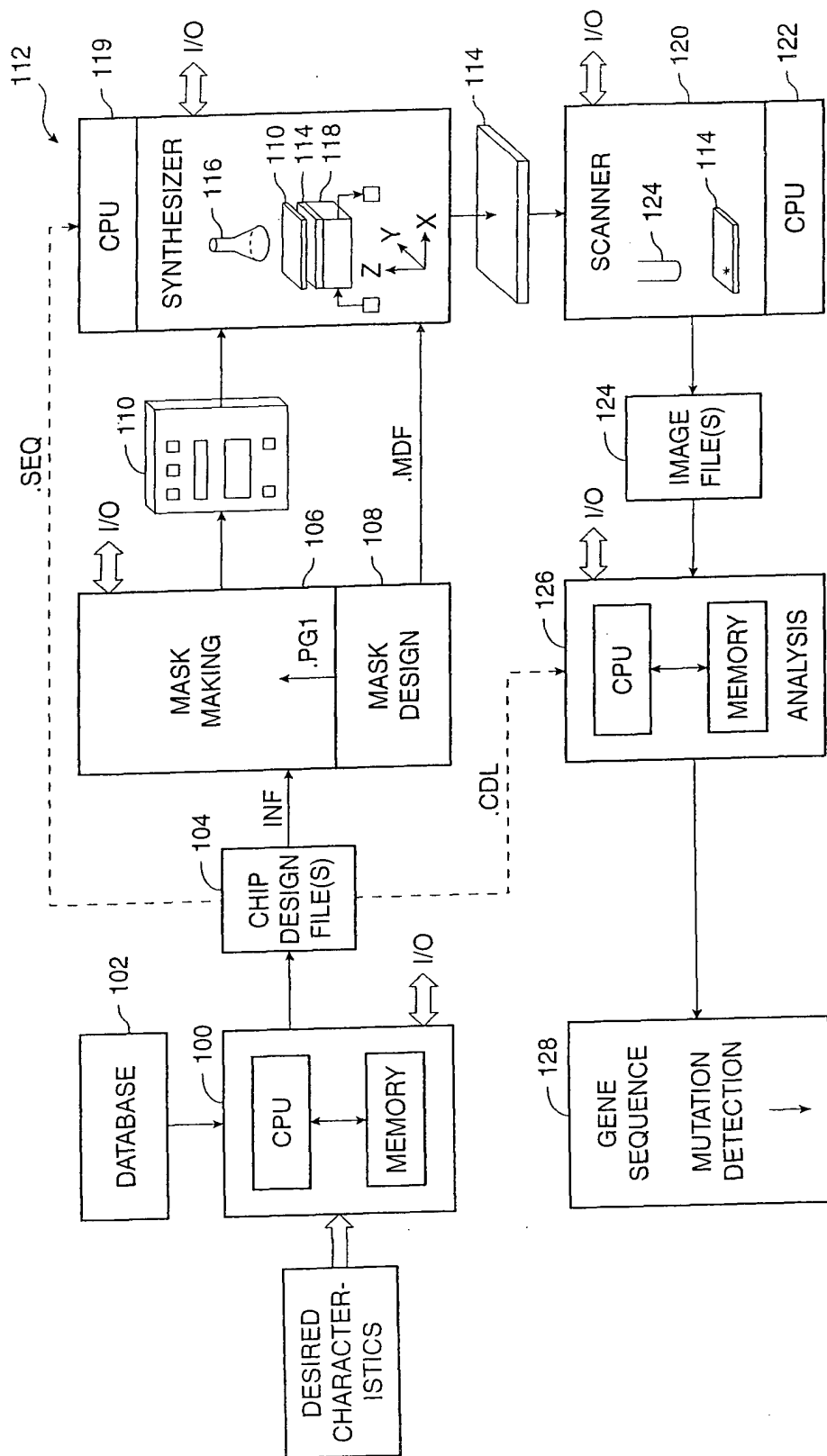


FIG. 3

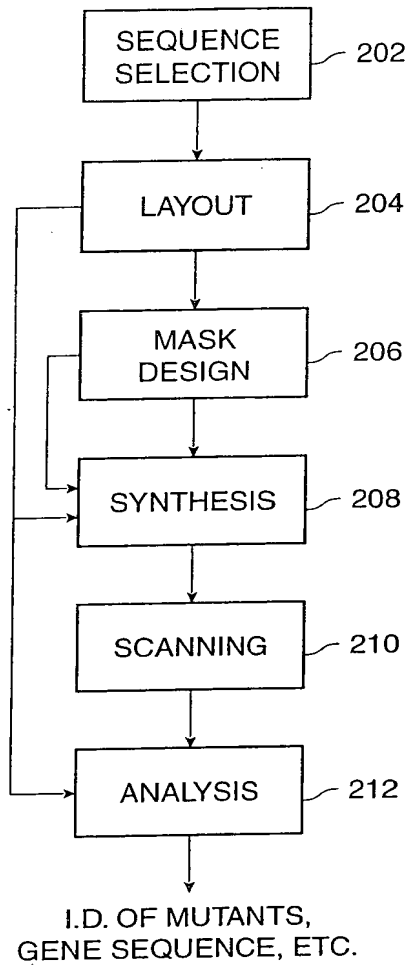


FIG. 4

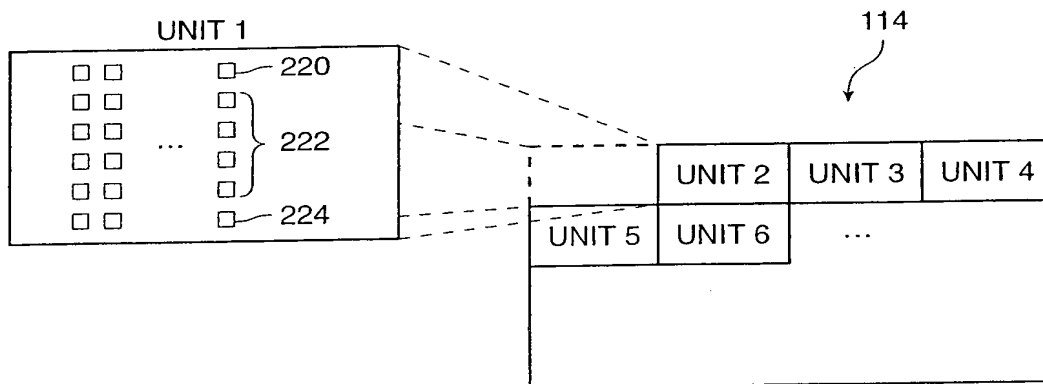


FIG. 5

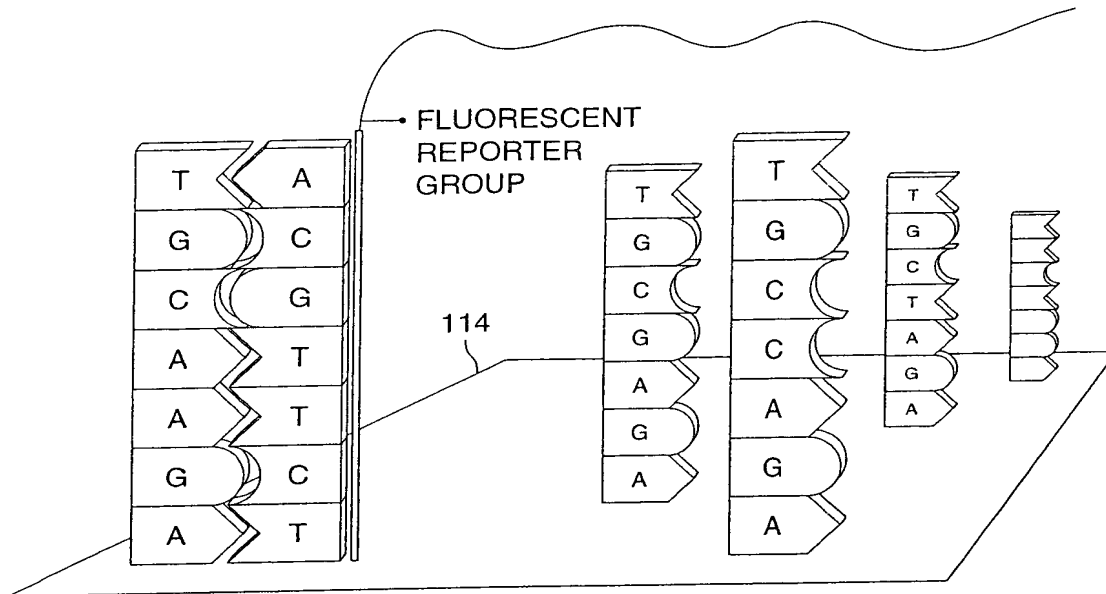


FIG. 6

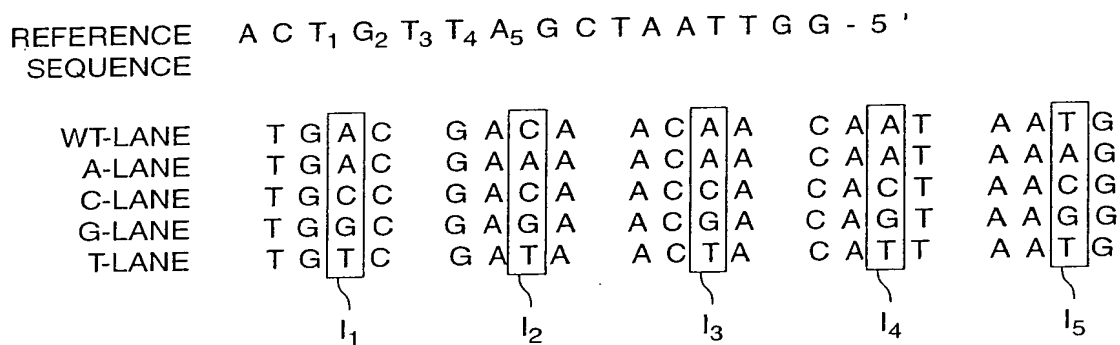


FIG. 7

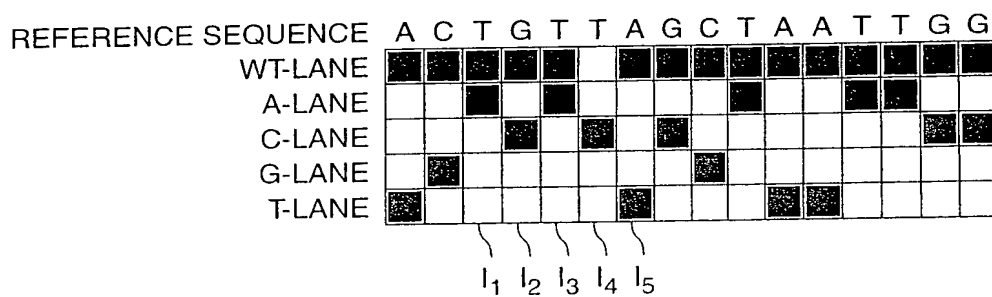


FIG. 8

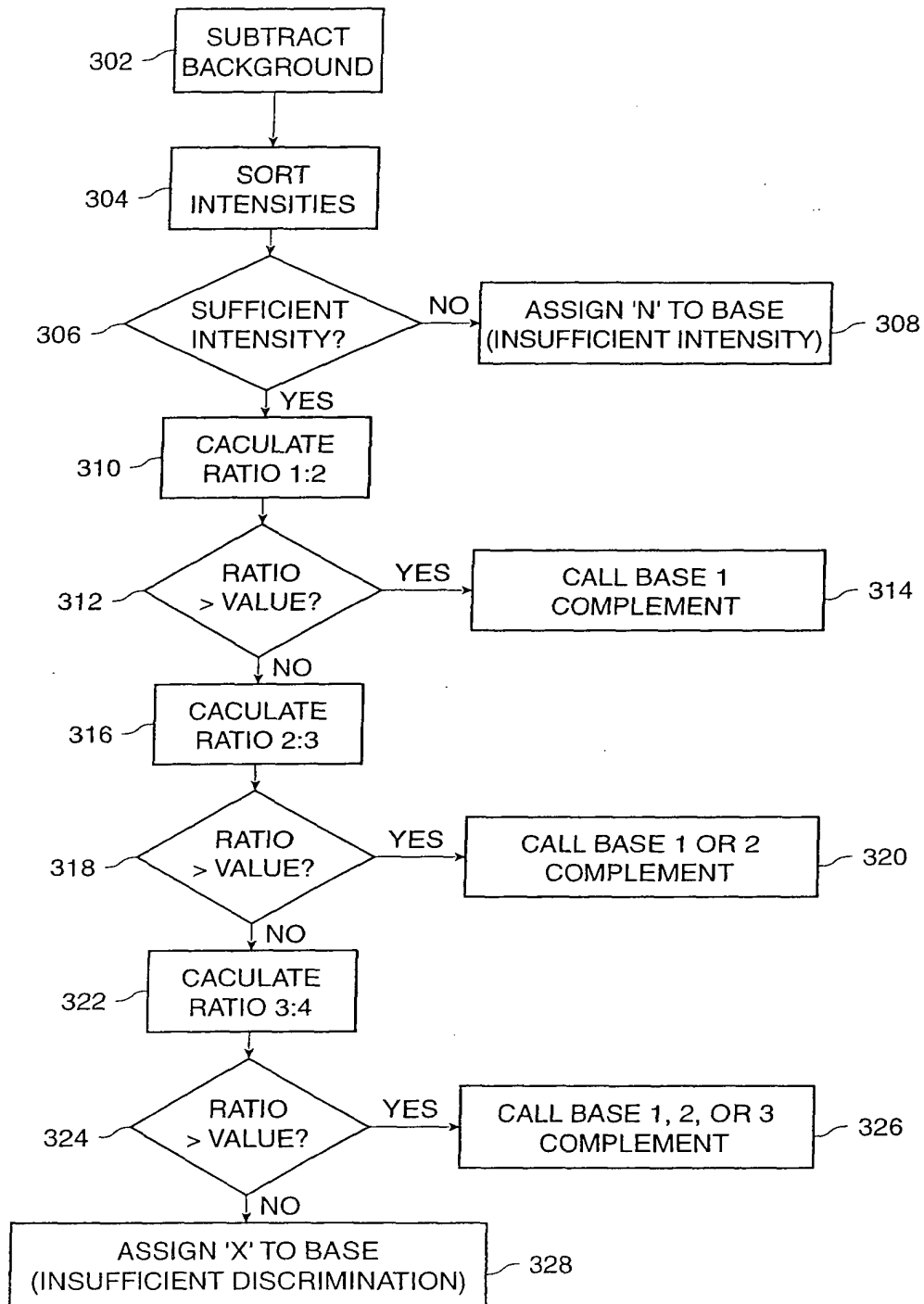


FIG. 9

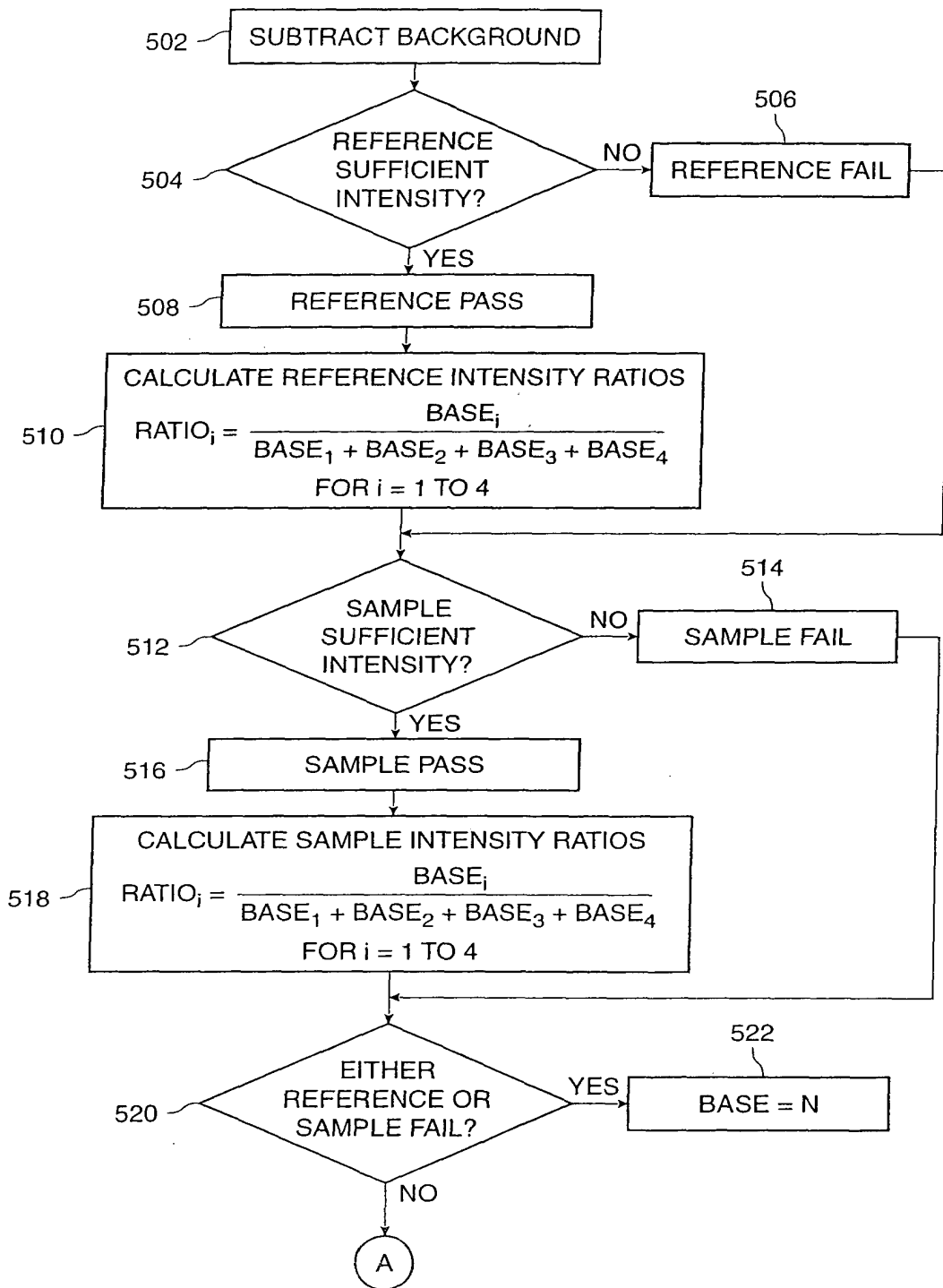


FIG. 10A

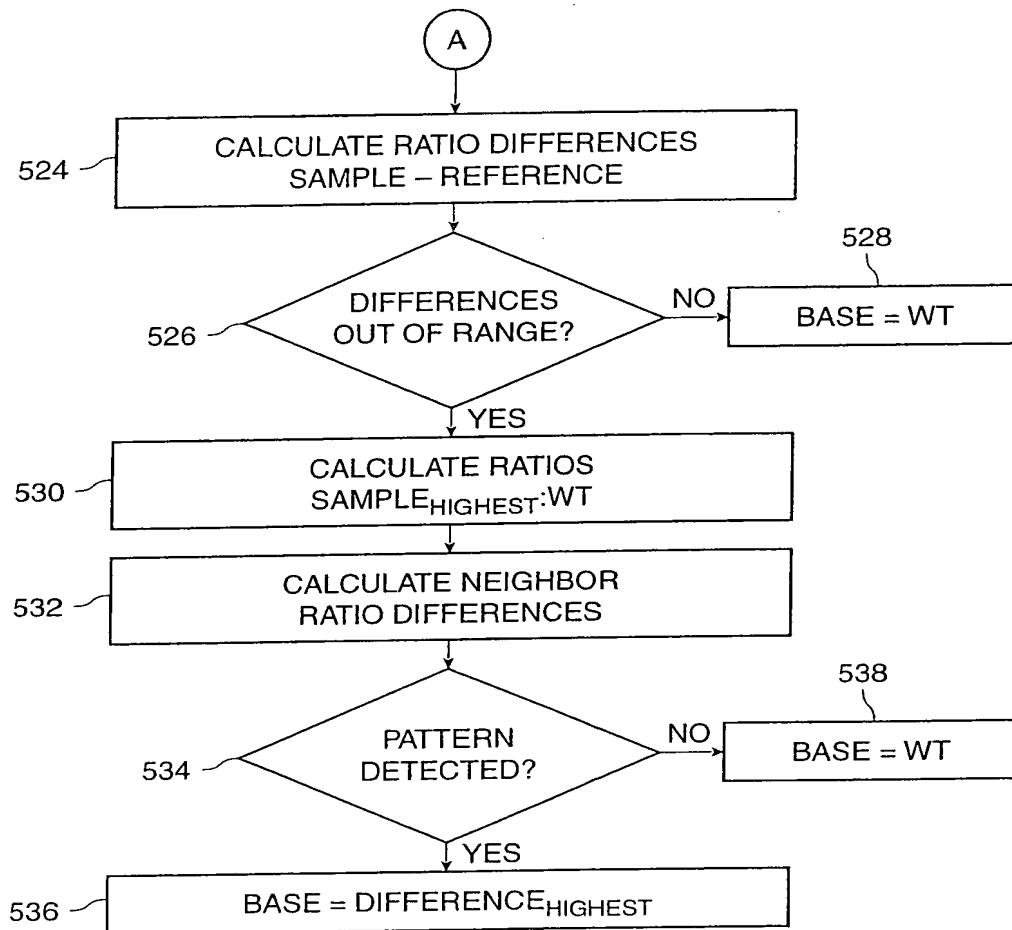


FIG. 10A
(CONTINUED)

		REFERENCE					SAMPLE					RATIO OF RATIOS						
POSITION	WT	BACK-GROUND	A	C	G	T	BACK-GROUND	A	C	G	T	A/A	C/C	G/G	T/T	BASE	CONFIDENCE	
463	C	P	7.2	9.9	1.0	5.6	P	6.4	2.3	1.0	14.5	1.1	4.3	1.0	0.4	G	1	
1	2	3	4	5	6	7	8	9	10	11	12	13	14	15	16	17	18	

FIG. 10B

9/31

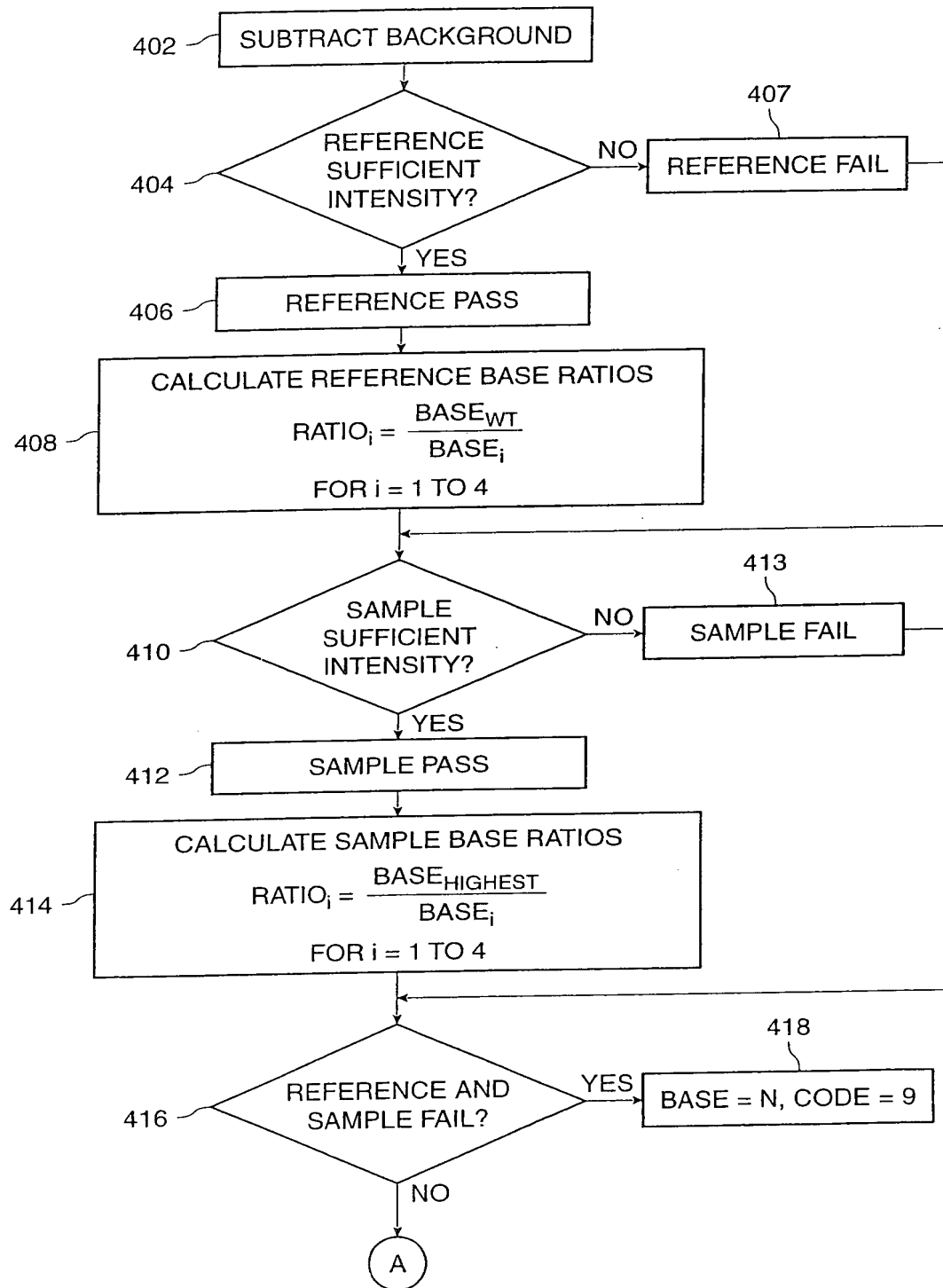


FIG. 11A

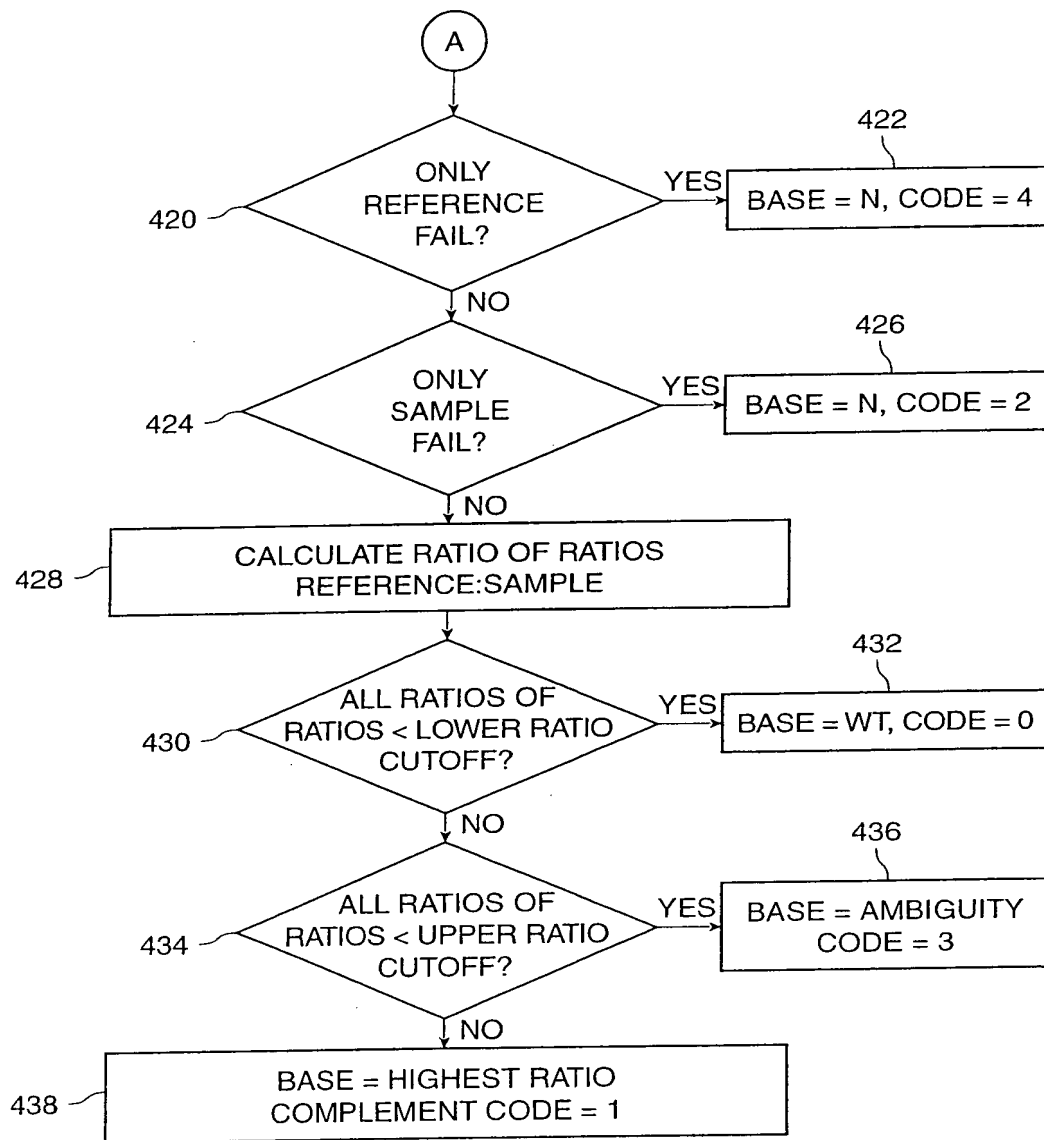


FIG. 11A
(CONTINUED)

BCK SUBTRACTED INTENSITIES														
	-7	-6	-5	-4	-3	-2	-1	0	1	2	3	4	5	6
RY090203.CQ1														
POSITION:	234	235	236	237	238	239	240	241	242	243	244	245	246	247
WILDTYPE:	A	A	A	C	C	C	A	A	T	C	C	A	C	A
CALLED:	A	A	A	C	C	C	A	A	T	C	C	A	C	A
A	148	193	165	17	70	38	282	385	97	31	18	158	15	223
C	57	100	42	167	345	278	38	99	139	249	249	13	244	28
G	26	32	20	16	64	17	27	107	100	13	9	11	10	30
T	9	15	10	6	41	14	27	79	261	6	2	1	7	16
S	240	340	238	207	522	347	374	671	598	298	279	182	276	298
WTR	148	193	165	167	345	278	282	385	261	249	249	158	244	223
MAXR	148	193	165	167	345	278	282	385	261	249	249	158	244	223
MC090407.CQ1														
POSITION:														
WILDTYPE:	234	235	236	237	238	239	240	241	242	243	244	245	246	247
CALLED:	A	A	A	C	C	C	A	A	T	C	C	A	C	A
A	M	M	A	C	X	C	A	X	X	C	C	A	C	A
C	194	238	150	44	191	126	283	332	234	58	49	242	25	337
G	209	291	74	202	337	277	74	199	175	259	288	27	376	65
T	92	72	34	29	114	52	65	571	231	30	17	16	47	71
S	25	39	16	11	96	29	68	205	267	11	8	5	23	57
WTR	520	639	274	286	738	484	489	1307	906	357	362	291	472	529
MAXR	194	238	150	202	337	277	283	332	267	259	288	242	376	337
	209	291	150	202	337	277	283	571	267	259	288	242	376	337

FIG. 11B

WTE/WTR	1.31	1.23	0.91	1.21	0.98	1.00	1.00	0.86	1.02	1.04	1.15	1.54	1.54	1.51	1.34	1.30	1.66
MAXE/WTR	1.42	1.51	0.91	1.21	0.98	1.00	1.00	1.48	1.02	1.04	1.15	1.54	1.54	1.51	1.34	1.30	1.66
N-L + N-R		0.79	-0.63	0.54	-0.25	0.01	0.14	0.94	0.14	-0.10	-0.27	0.38	0.04	0.14	-0.13	-0.40	
N-L		0.09	-0.60	0.30	-0.24	0.02	0.01	0.48	-0.46	0.02	0.11	0.38	0.01	-0.04	-0.17	-0.04	
N-R		0.60	-0.30	0.24	-0.02	-0.01	-0.48	0.46	-0.02	-0.11	-0.38	-0.01	0.04	0.17	0.04	-0.36	
N-L D(N-R)			-0.90	0.54	-0.25	0.01	-0.48	0.94	-0.48	-0.10	-0.27	0.38	0.04	0.14	-0.13		
N-R D(N-L)			-0.90	0.54	-0.25	0.01	-0.48	0.94	-0.48	-0.10	-0.27	0.38	0.04	0.14	-0.13		
L(N-L) - (N-R)L			0.29	0.07	0.22	0.02	0.49	0.02	0.44	0.13	0.50	0.39	0.03	0.21	0.21		
A+B-C			-2.10	1.01	-0.73	0.00	-1.44	1.86	-1.40	-0.33	-1.03	0.36	0.06	0.06	-0.48		
SUM MT/ SUM WT																	
INTENSITIES																	
N/L + N/R	2.16	1.88	1.15	1.39	1.41	1.39	1.31	1.95	1.52	1.20	1.30	1.60	1.71	1.78	1.50	1.45	1.63
N-L + N-R		2.50	1.45	2.18	2.04	2.05	1.61	2.77	2.04	1.71	1.89	2.18	2.03	2.22	1.88	1.85	
N-L		0.22	-0.48	0.10	0.02	0.03	-0.36	0.54	-0.06	-0.21	-0.10	0.10	0.02	0.17	-0.11	-0.12	
N-R		-0.28	-0.73	0.21	0.03	-0.02	-0.09	0.54	-0.43	-0.32	0.10	0.30	0.10	0.07	-0.27	-0.06	
		0.73	-0.23	-0.03	0.02	0.09	-0.64	0.43	0.32	-0.10	-0.30	-0.10	-0.07	0.27	0.06	-0.18	

FIG. 11B
(CONTINUED)

[illegible]FIG. 11B
(CONTINUED)

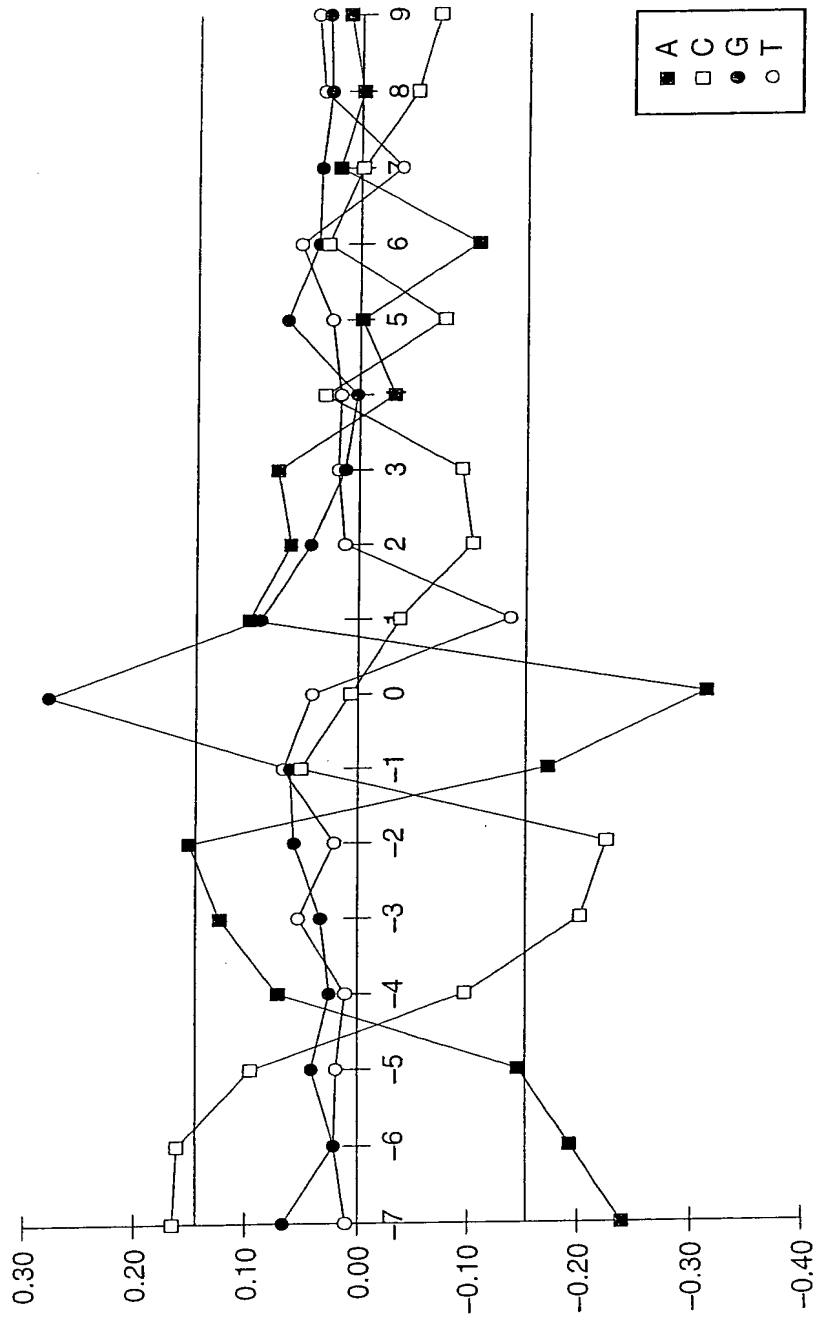


FIG. 11C

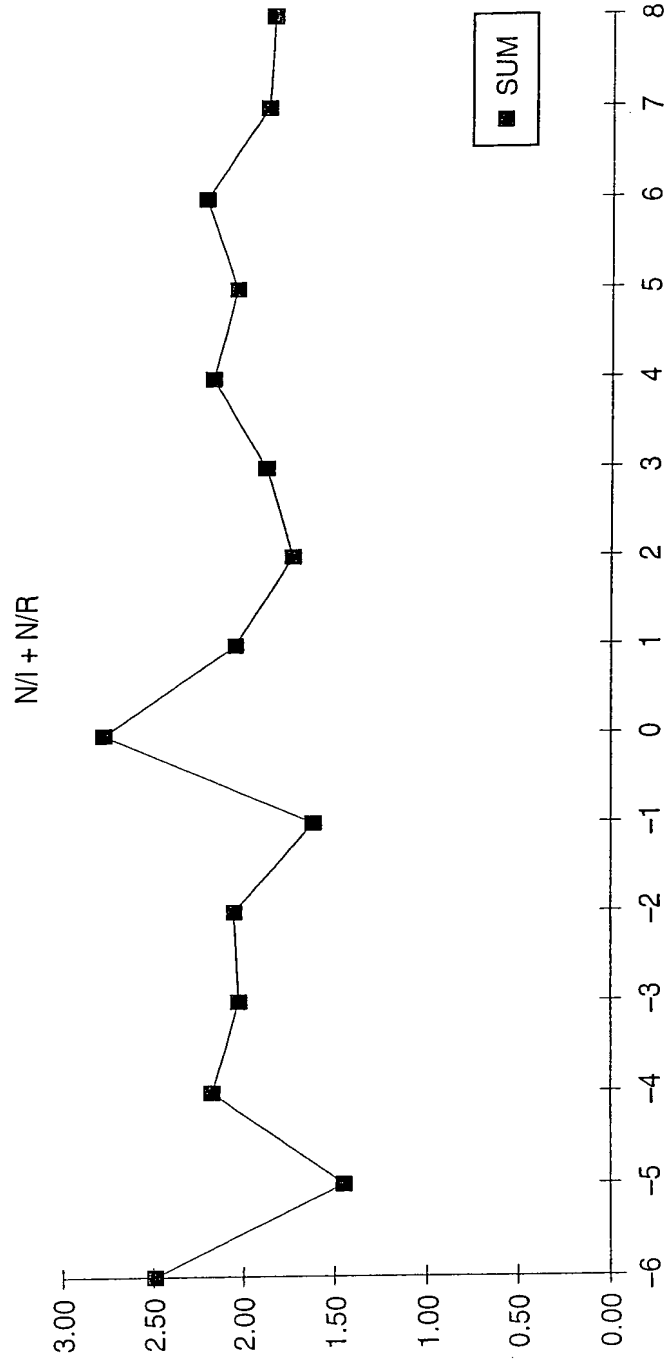
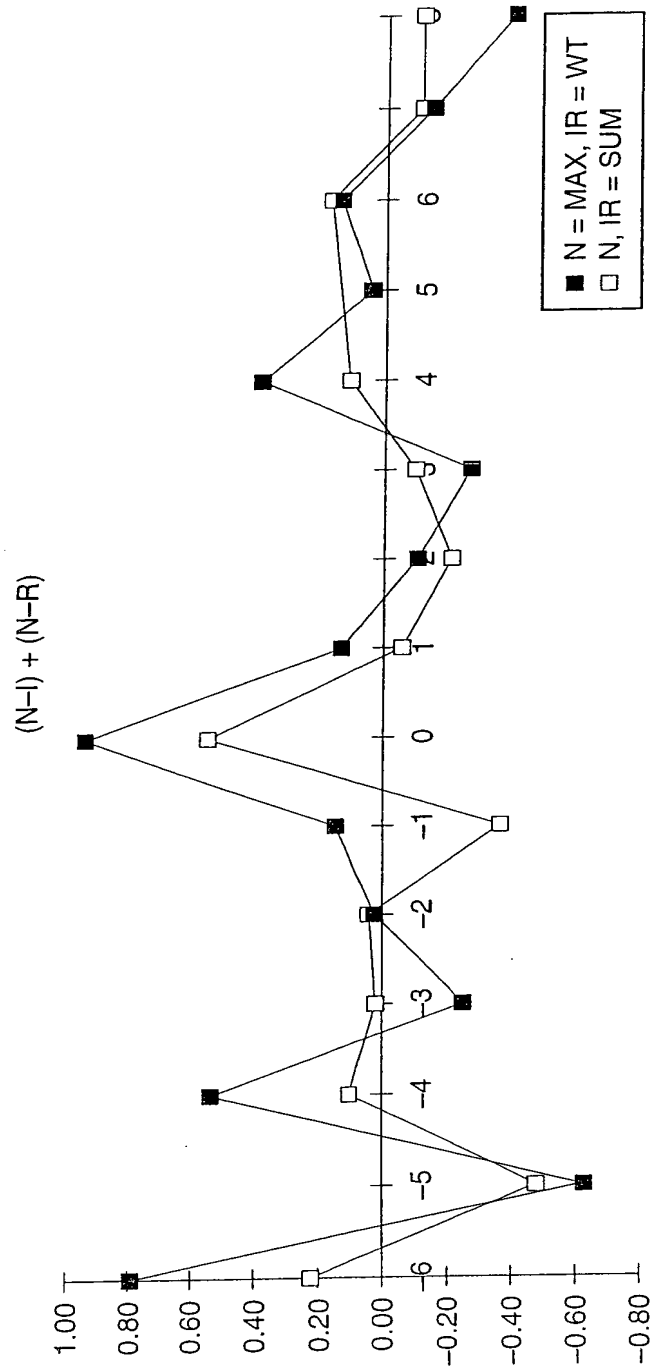
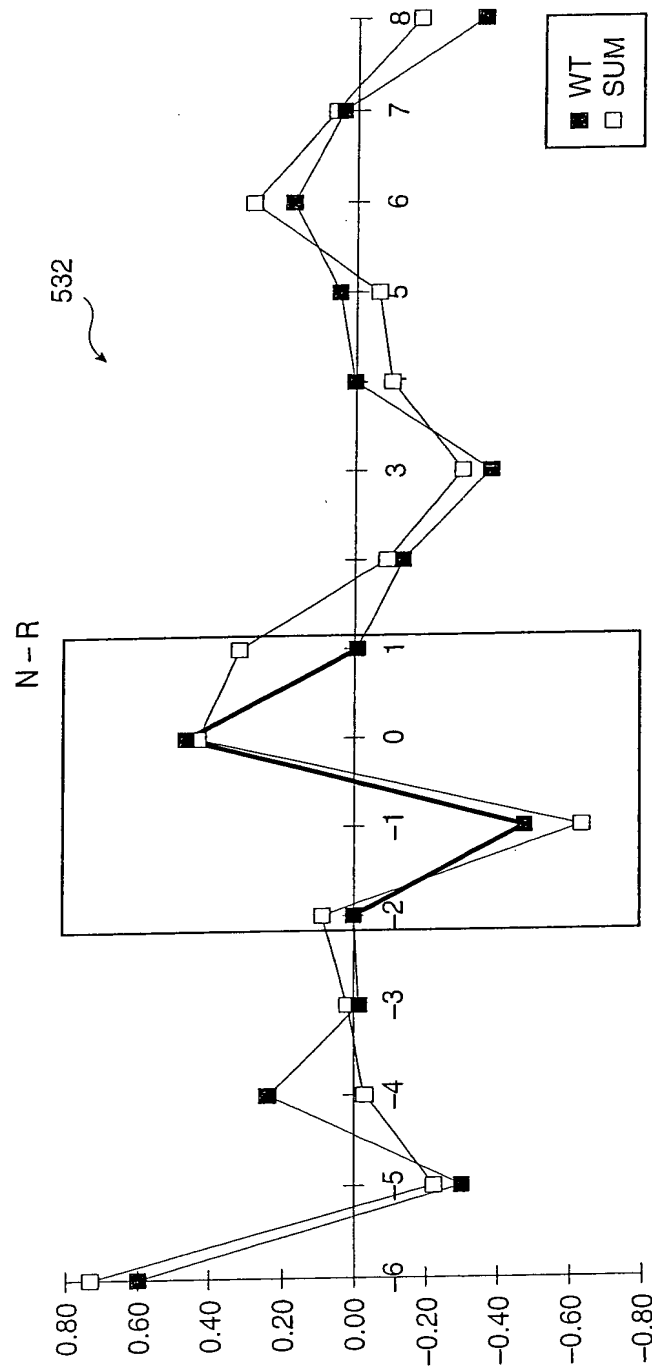


FIG. 11D

FIG. 11D
(CONTINUED)

FIG. 11D
(CONTINUED)

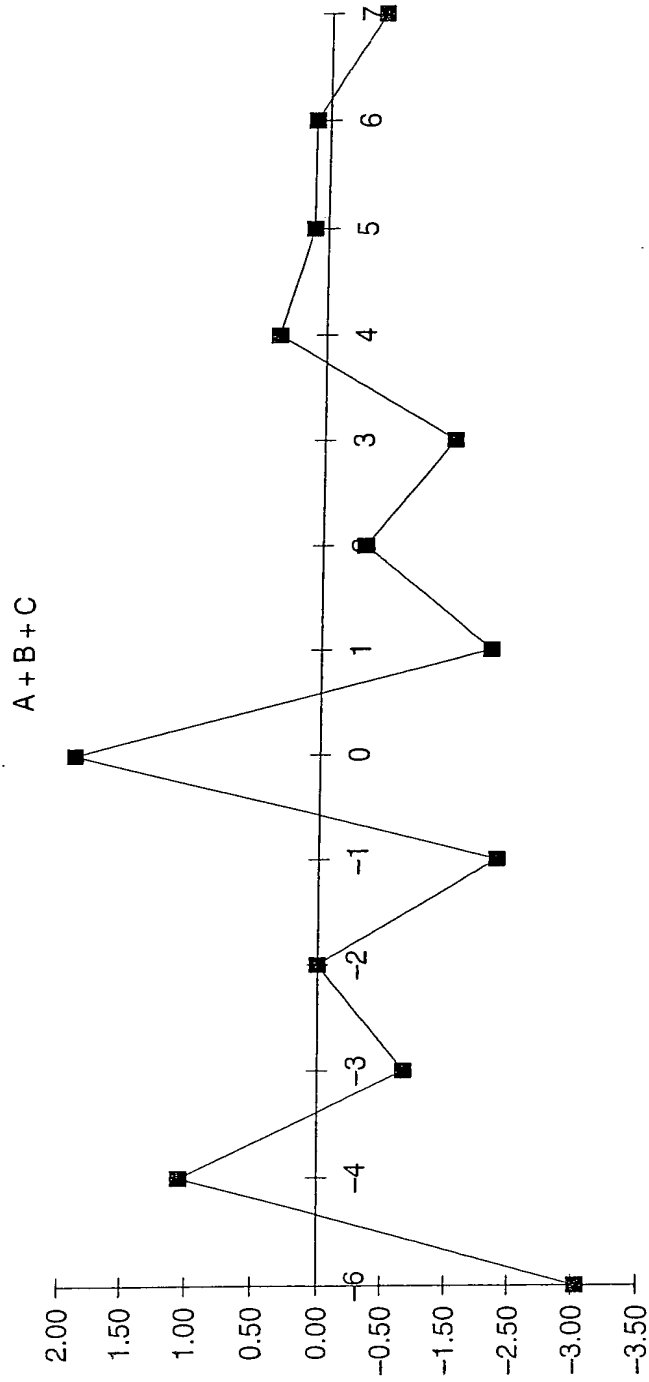


FIG. 11D
(CONTINUED)

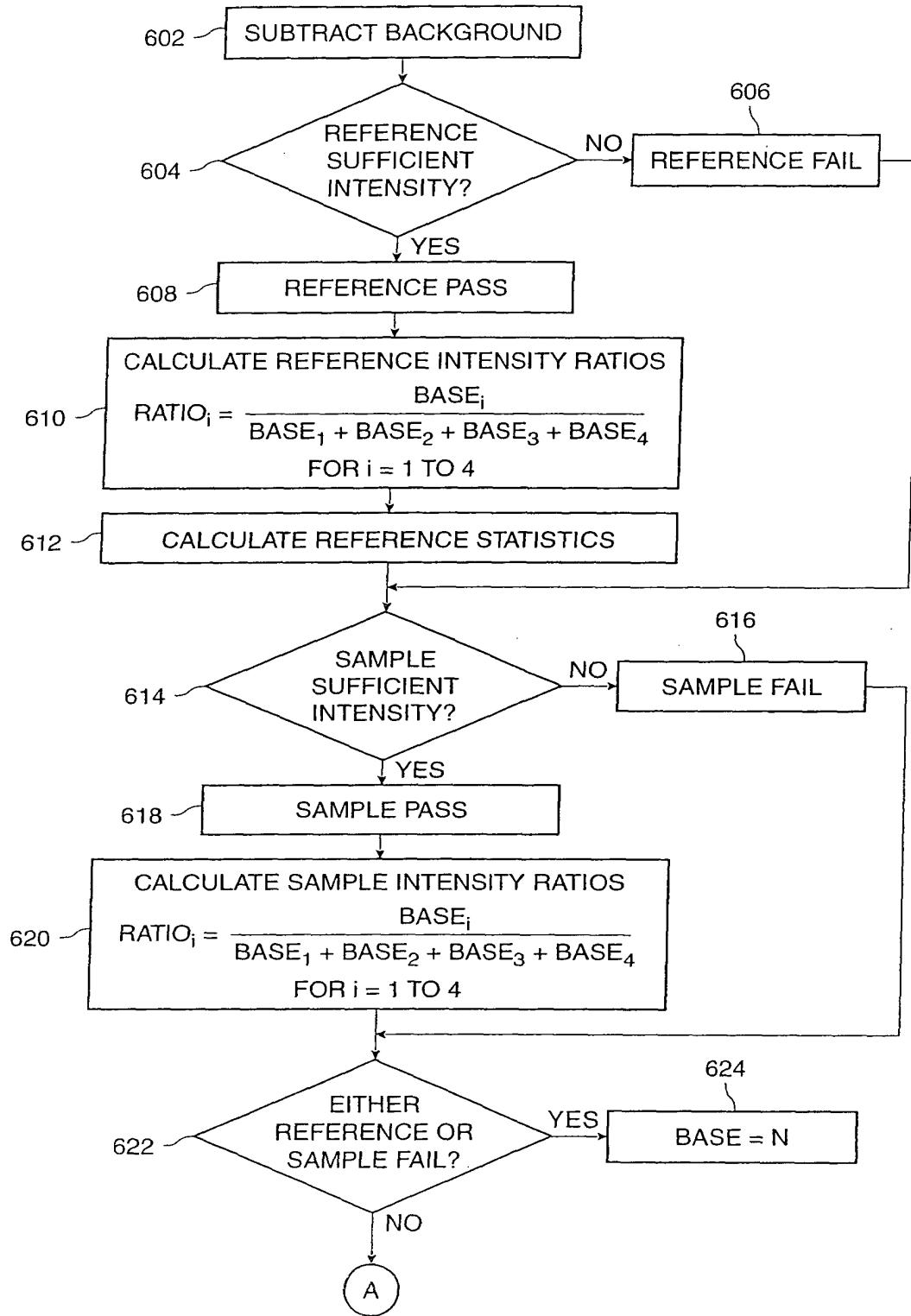


FIG. 12

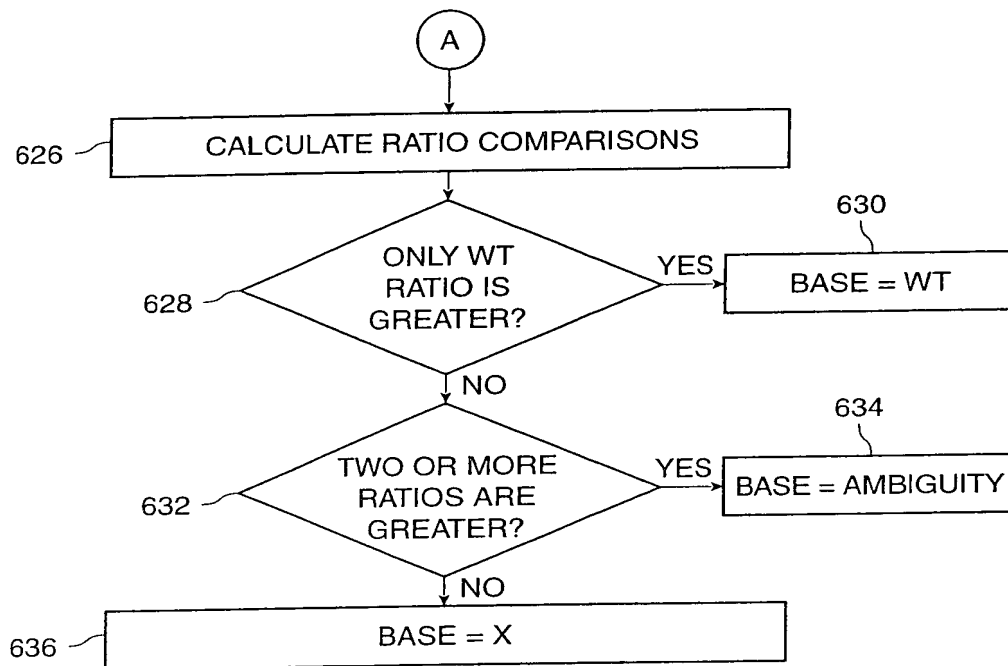


FIG. 12
(CONTINUED)

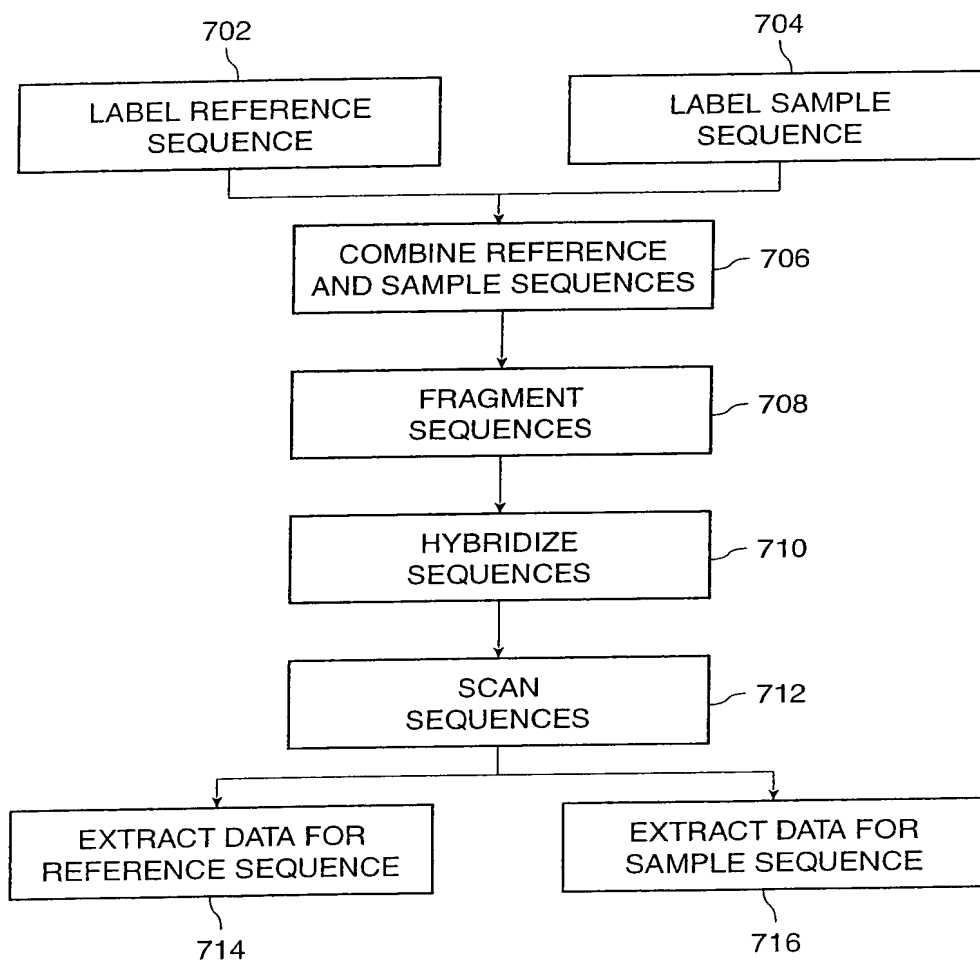


FIG. 13

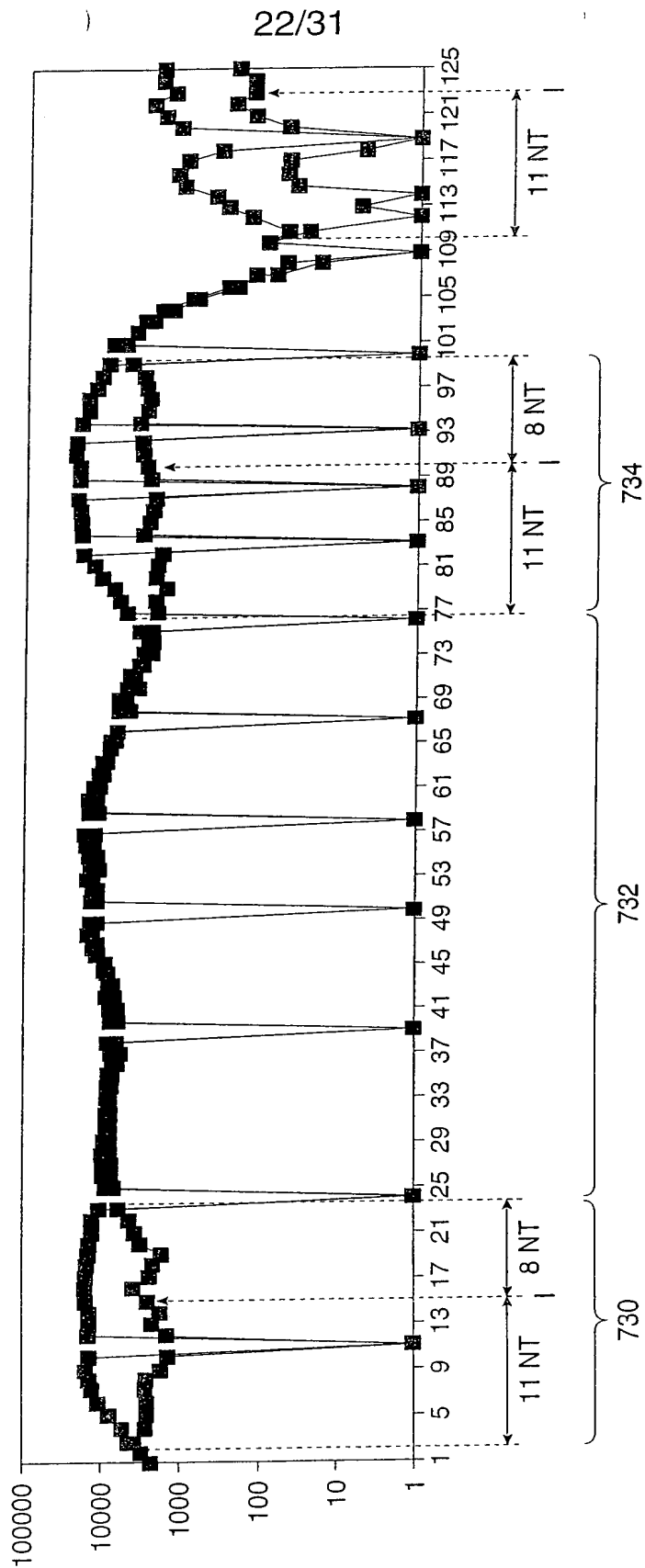


FIG. 14A

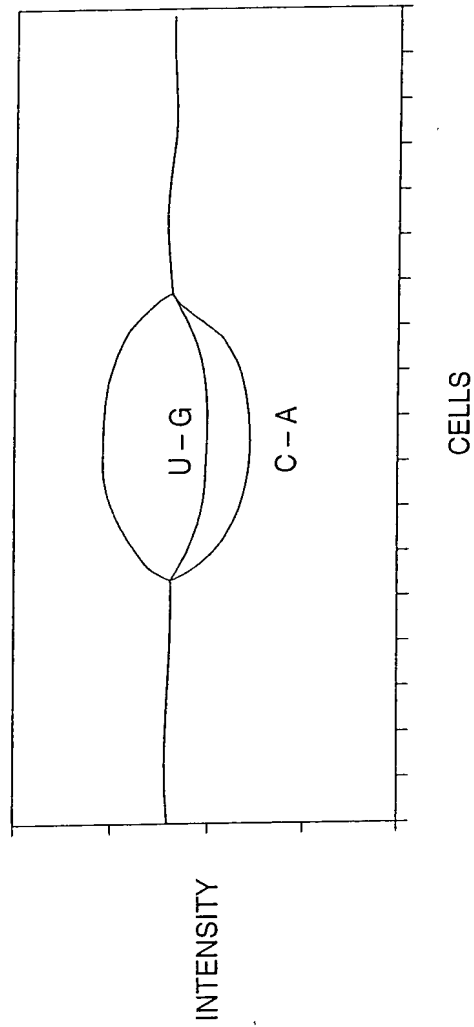


FIG. 14B

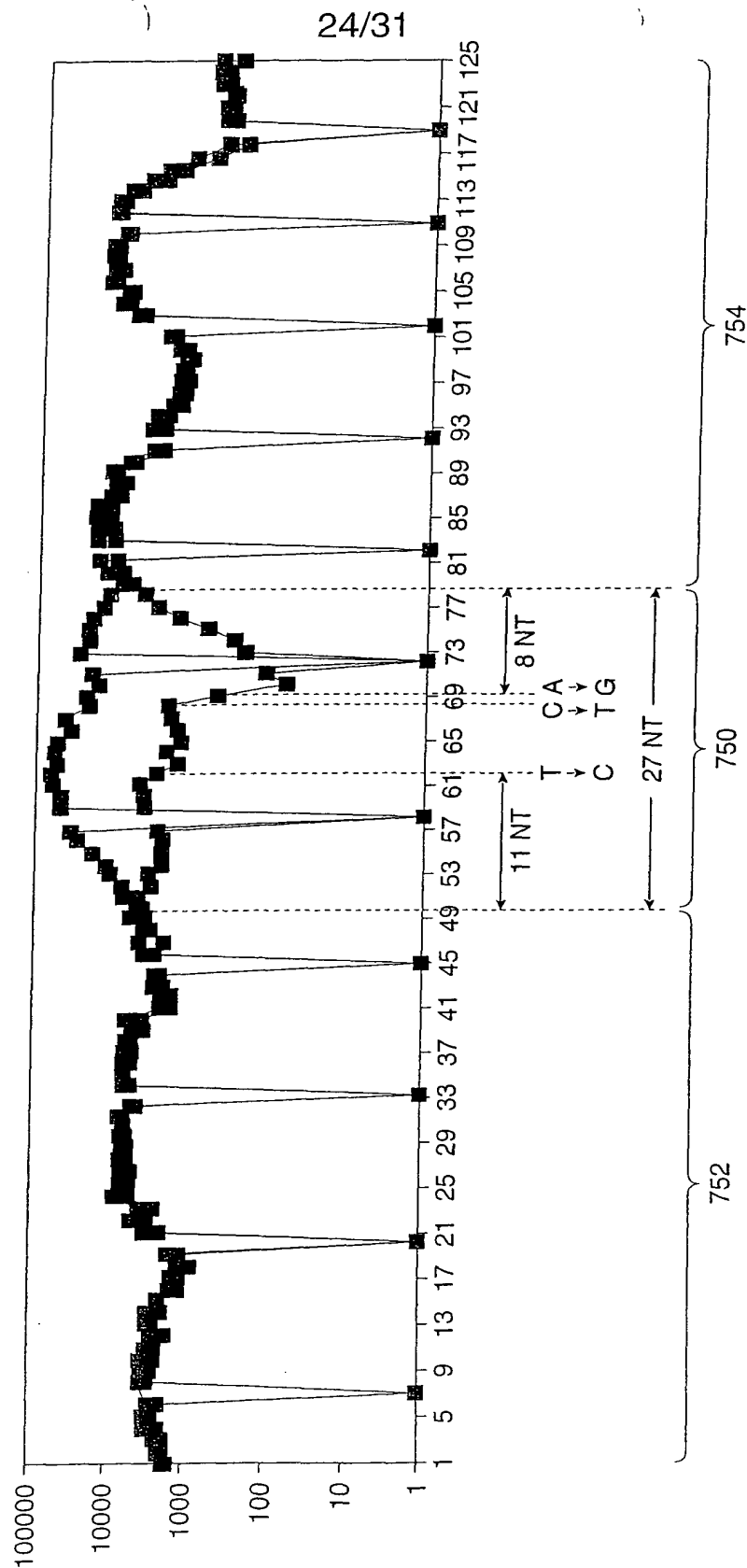


FIG. 14C

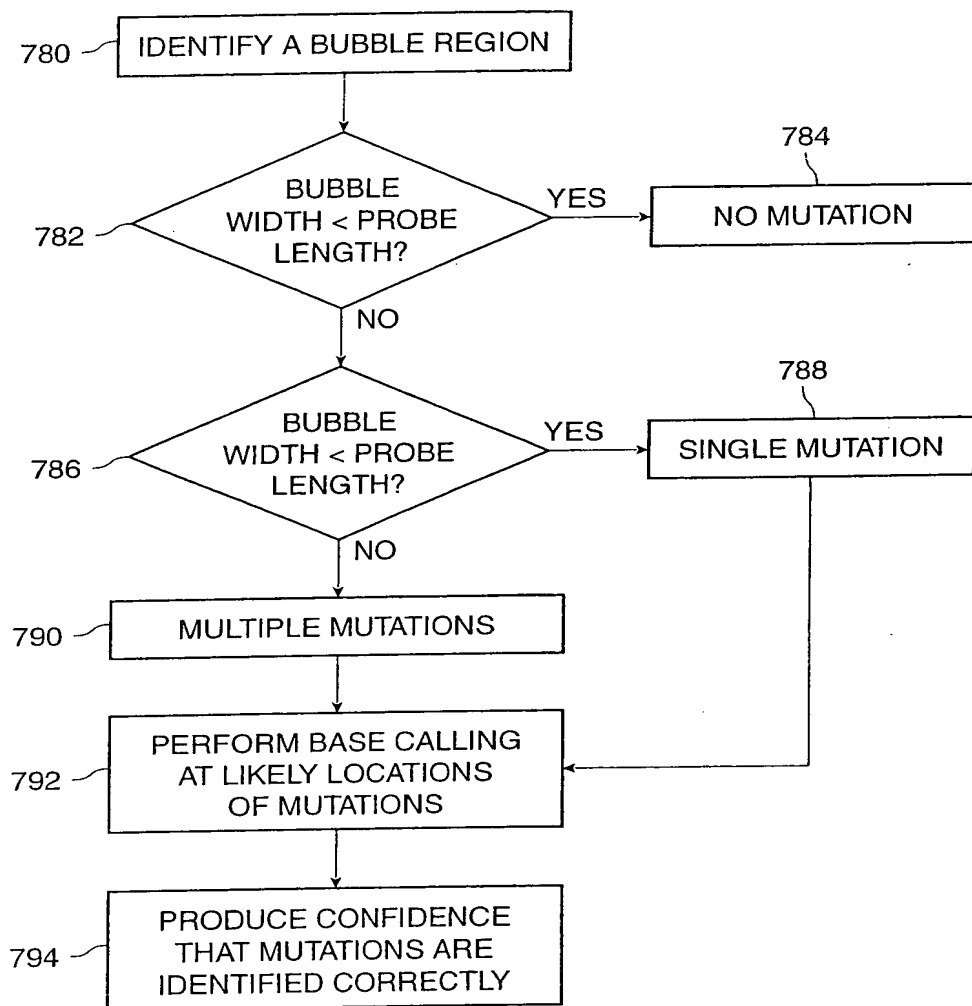


FIG. 15

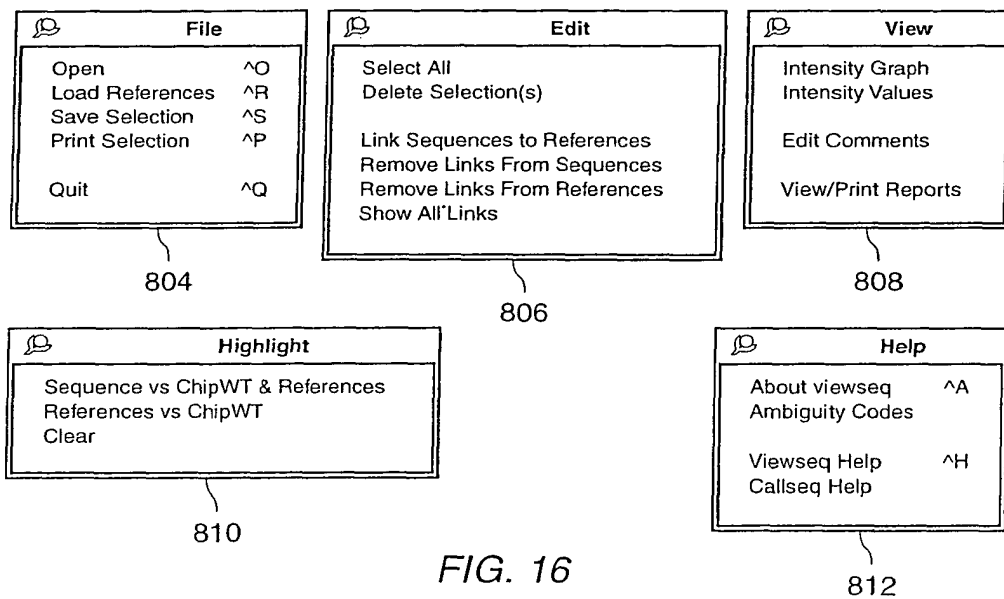
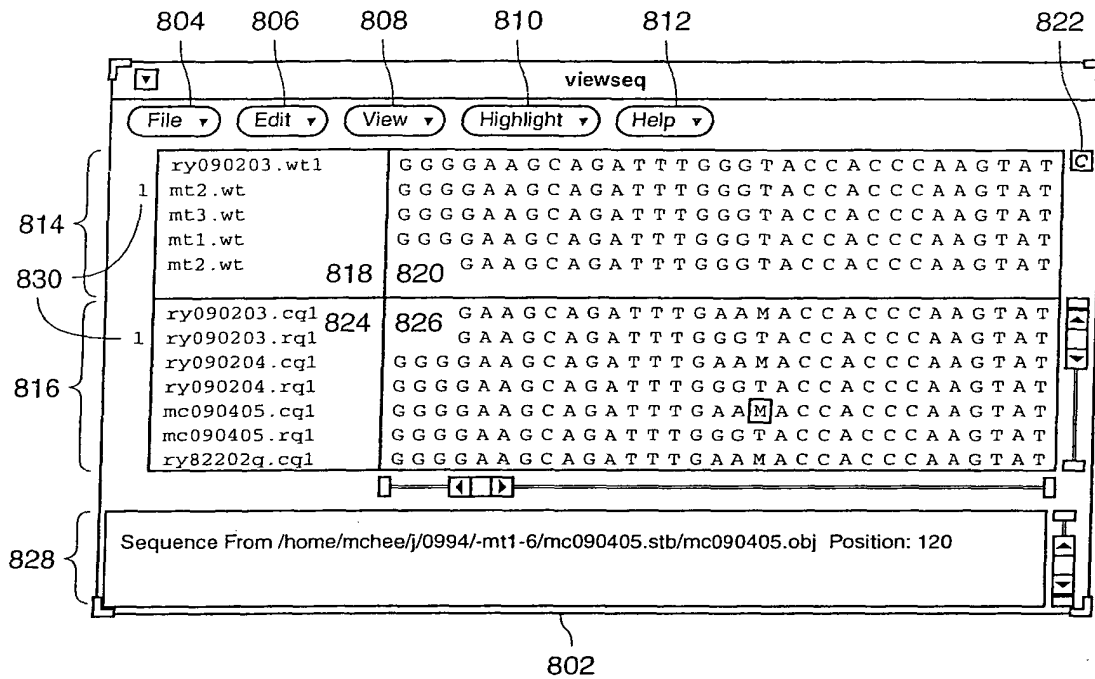


FIG. 16

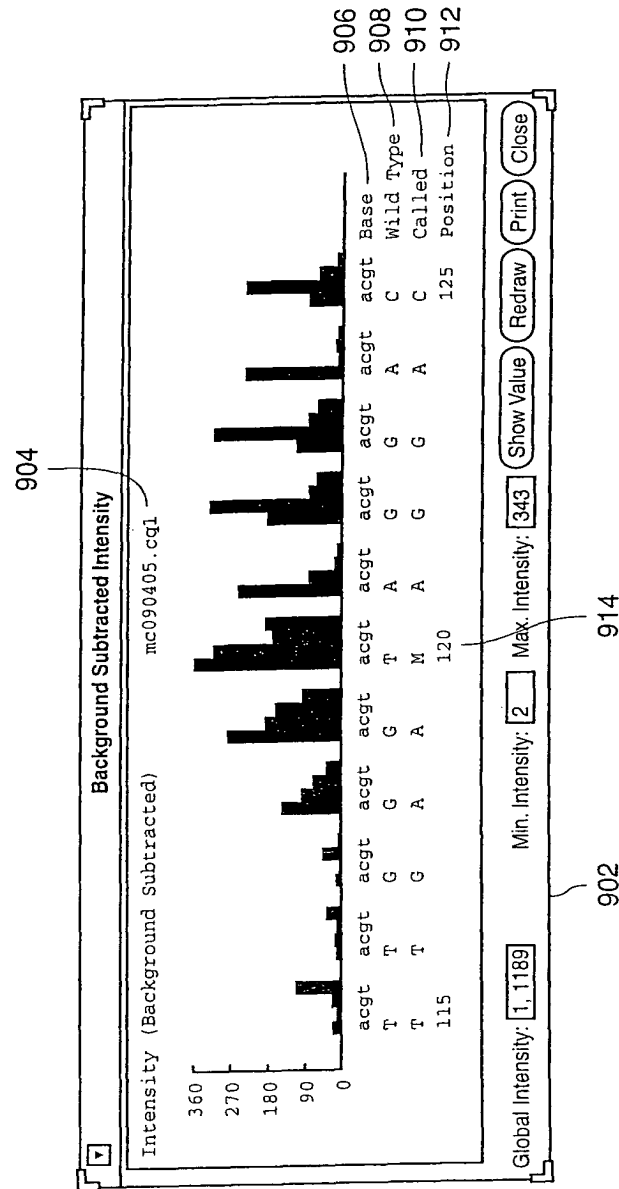


FIG. 17

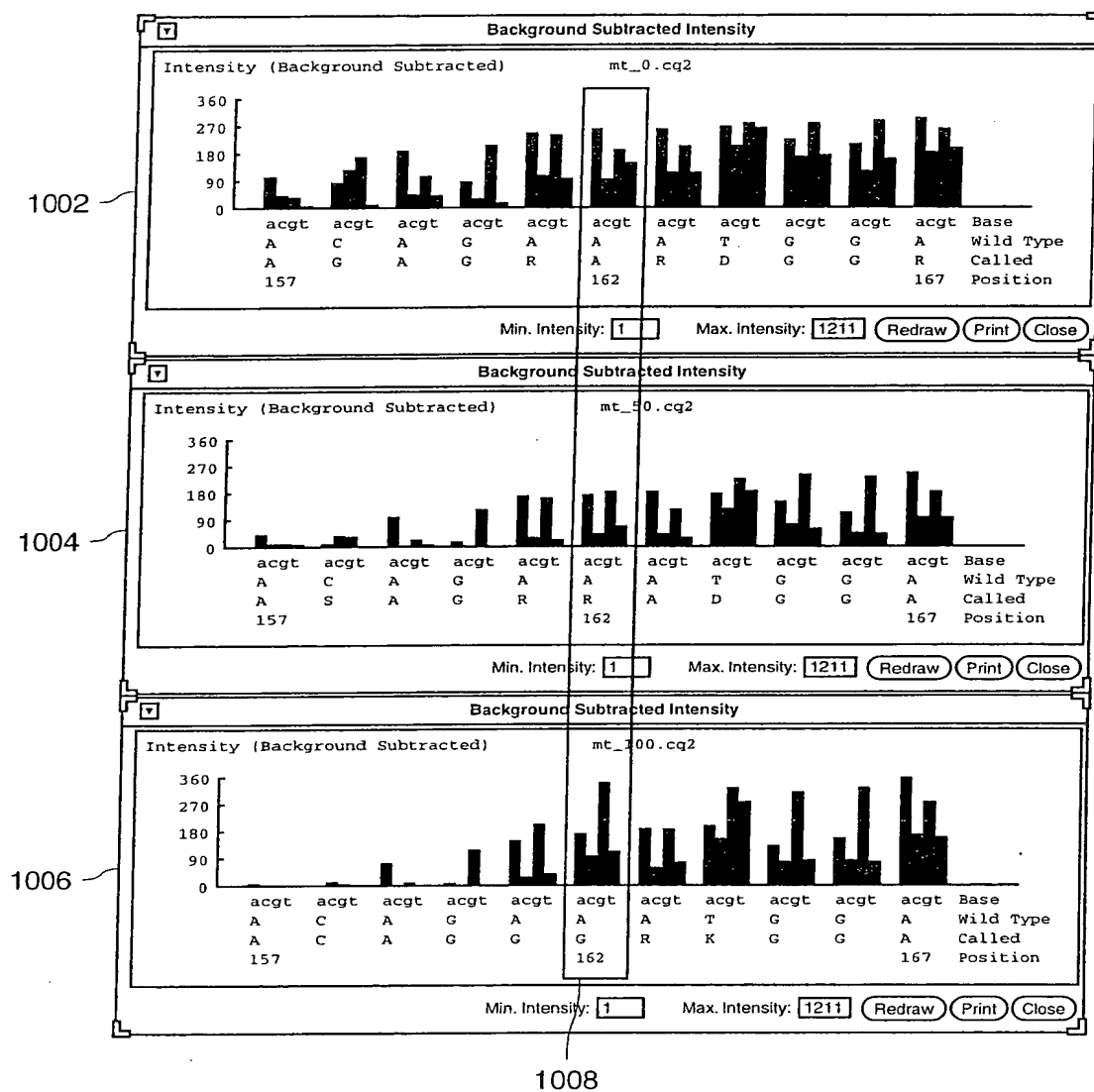


FIG. 18

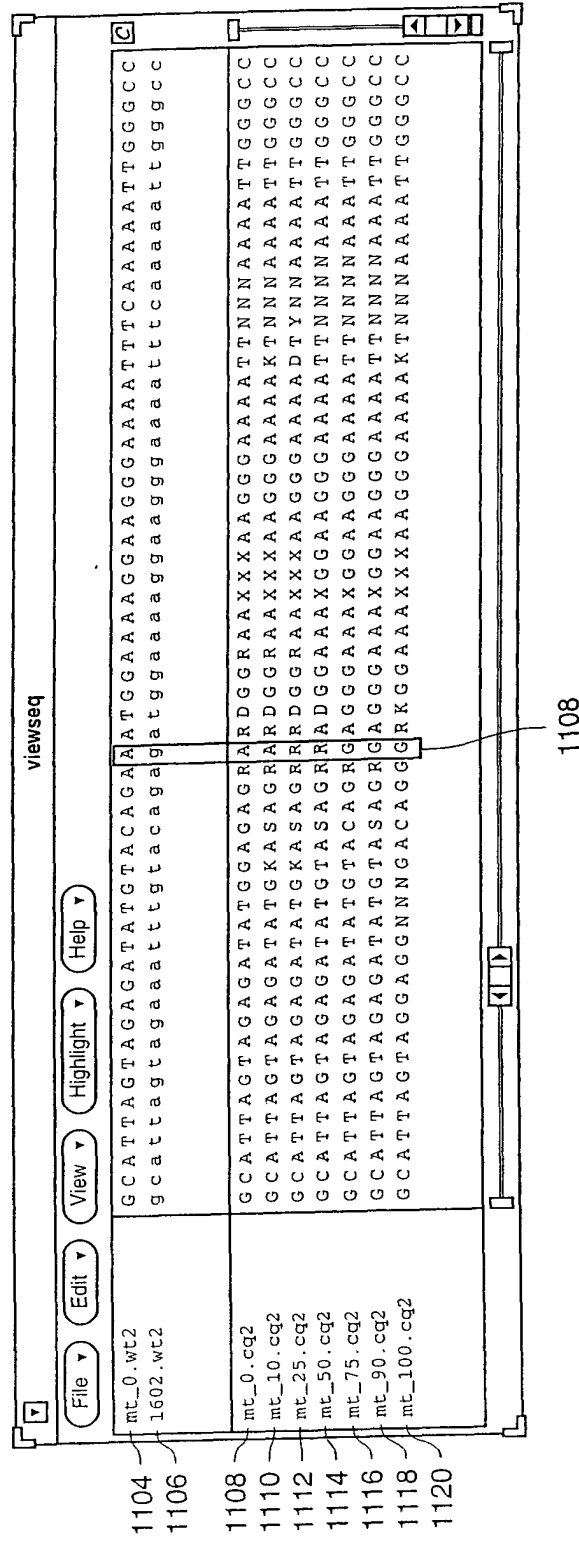


FIG. 19

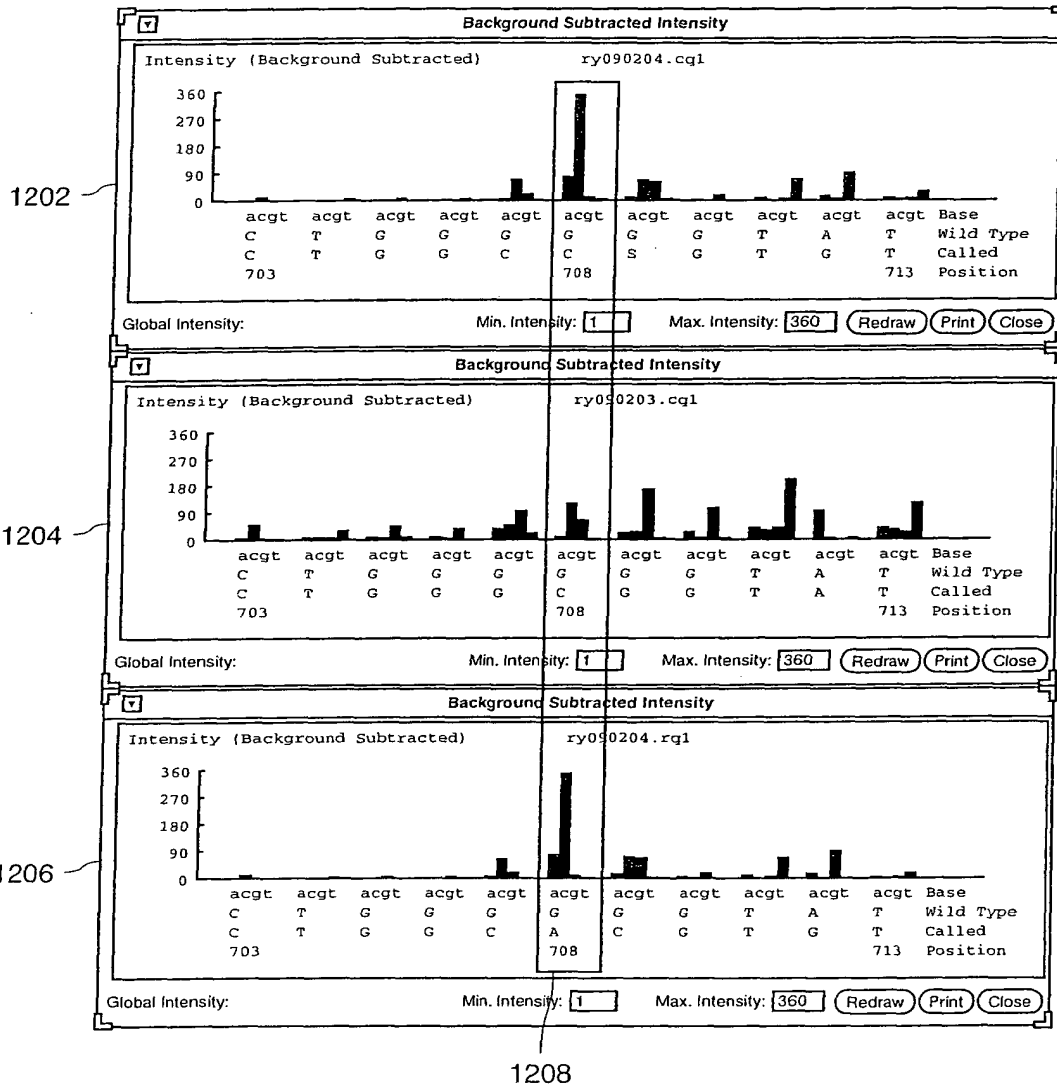


FIG. 20

tcgagataatctatgtcctcgctactatgtgcataatcttcttacttaaacgggtccttttaccttttggtttttactatc	90	100	110	120	130	140	150	160	CONSENSUS
nngagatannnntatgtcctcgctcyactatgtnnnnnnnnnnnnnnaaacgggtcctnnnnnnnnnnnnnnnnnnnn									PRE-TREATMENT
tcgagataaatctatgtcctcgctactatgtcataatnn									POST-TREATMENT
tcgagataaatctatgtcctcgctactatgtcataatcttcttacttaaacgggtccttttaccttttggtttttactatc									
tcgagataaatctatgtcctcgctactatgtcataatcttcttacttaaacgggtccttttaccttttggtttttactatc									
ncgggatanntatgtcctcgctcyactatgtcann									
tcgrrgataaatctatgtcctcgctactatgtcataatccnnnnnnnnnnnnnnnnnnnnnnnnnnnnnnnnnnnnnn									
tcgagataaatctatgtcctcgctactatgtcataatccnnnnnnnnnnnnnnnnnnnnnnnnnnnnnnnnnnnnnn									
tcgagataaatctatgtcctcgctactatgtcataatcttcttacttaaacgggtccttttaccttttggtttttactatc									

cccccttaacctccaaaaatagtttcattctgtcattgtctatggacatcttttagacacctgtatttcgatatccatgt	170	180	190	200	210	220	230	240	CONSENSUS
cnnnntaaacctccaaaaatann									PRE-TREATMENT
cccccttaacctccaaaaatagtttcattctgtcannagttctatgngngnnnnnnnnnnnnnnnnnnnnnnnnnn									POST-TREATMENT
cmncttaacctccaaaaatagtttcattctgtcataactagttctatgggtagcttttagacacmccgtatttcgatatccatgt									
ccmcttaacctccaaaaatagtttcattctgtcataactagttctatgggtagcttttagacacacccgtatttcgatatccatgt									
aawcycaacctccaaaaatann									
cccccttaacctccaaaaatagtttcattctgtcnnstctannnnnnnnnnnnnnnnnnnnnnnnnnnnnnnnnnnn									
cmncttaacctccaaaaatagtttcattctgtcataactagttctatgggtagcttttagacacacccgtatttcgatatccatgt									

FIG. 21